



Defensa de Tesis de Doctorado en Física

LaNAIS  
de  
RMS

*Dinámica coherente de  
excitaciones de carga y espín en  
sistemas unidimensionales.*

Elena Rufeil Fiori

Dr. Horacio M. Pastawski, Dra. Patricia R. Levstein

El **control y diseño de la dinámica cuántica** constituye el núcleo del procesamiento de información cuántica.

En sistemas de espines acoplados, esto se ve dificultado por



- la alta conectividad de las interacciones,
- la complejidad de los estados accesibles a temperatura ambiente.

En esta tesis mostramos alternativas para obtener una **dinámica coherente controlada** que puede obtenerse en sistemas de espines interactuantes en experimentos de RMN



Para obtener el grado de simplicidad deseado utilizaremos un adecuado **diseño de las interacciones efectivas** y una conveniente elección de la topología de los acoplamientos...

# elección de interacciones efectivas...

*muchos cuerpos ...*

## RMN en el estado sólido

$$\mathcal{H}_{DQ} = d_{i,i+1} \sum_{i=1}^N (S_i^+ S_{i+1}^+ + S_i^- S_{i+1}^-)$$

$$\langle S^z \rangle(t) = \sum_M J_M(t) \exp(-iM\phi)$$

## RMN en el estado líquido

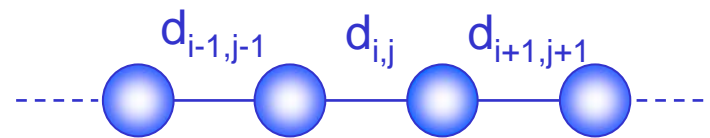
$$\mathcal{H}_{XY} = d_{i,i+1} \sum_{i=1}^N (S_i^+ S_{i+1}^- + S_i^- S_{i+1}^+)$$

$$P_{i,i}(t) = \langle S_i^z(t) S_i^z(0) \rangle$$

Función correlacion de pares en una cadena de 5 espines est. líq. en RMN

Z.L. Mádi et al. / Chemical Physics Letters 268 (1997) 300–305

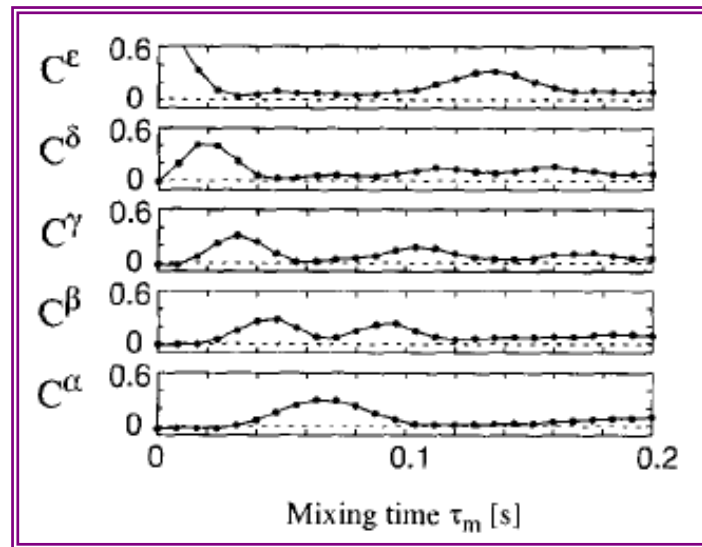
*un cuerpo ...*



fermiones no interactuantes

$$\mathcal{H}_{TB} = d_{i,i+1} \sum_{i=1}^N (c_i^+ c_{i+1} + c_{i+1}^+ c_i)$$

Feldman et al.  
Jordan-Wigner



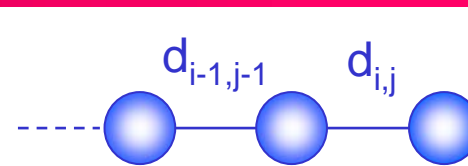
# Organización

## Primer parte:

- Estudiamos **cómo obtener una dinámica simple** aprovechando las interacciones (DQ) que mezclan subespacios de distinta proyección de espín total.
- Implementamos **experimentos en RMN** en el estado sólido utilizando un **sistema unidimensional de espines**.
- Utilizamos **Coherencias Cuánticas Múltiples**, una “observable” en RMN, como **testigo de dinámica efectiva de un cuerpo** subyacente en una dinámica de muchos cuerpos interactuantes.

## Segunda parte:

- Estudiamos un **modelo** que describe el **decaimiento de la polarización** cuando un espín excitado interactúa débilmente con una cadena de espines que actúa como un ambiente.
- Estudiamos los **efectos coherentes que el ambiente produce sobre el sistema** de interés.
- Obtenemos una **descripción completa del decaimiento** de la polarización local, comportamiento **exponencial y no-exponencial**.



*muchos cuerpos ...*

RMN en el estado sólido

$$\mathcal{H}_{DQ} = d_{i,i+1} \sum_{i=1}^N (S_i^+ S_{i+1}^+ + S_i^- S_{i+1}^-)$$



no conmuta con el estado inicial de equilibrio térmico\*

$$\rho(0) = \frac{1}{Z} \left( \mathbf{1} - \alpha \sum_i S_i^z \right)$$

mezcla subespacios de diferente proyección de espín (momento magnético total) creando estados de superposición de muchos cuerpos: Coherencias Cuánticas Múltiples

*un cuerpo ...*

$$\begin{array}{ccc} \rho(0) & \xrightarrow{\exp(-i H_{DQ} t)} & \rho(t) \\ U \downarrow & & \uparrow U^+ \\ \bar{\rho}(0) & \xrightarrow{\exp(-i H_{XY} t)} & \bar{\rho}(t) \end{array}$$



fermiones no interactuantes

$$\mathcal{H}_{TB} = d_{i,i+1} \sum_{i=1}^N (c_i^+ c_{i+1} + c_{i+1}^+ c_i)$$



dinámica cuántica efectiva de un cuerpo, manifestada en los órdenes de MQC

$$\langle S^z \rangle(t) = \sum J_M(t) \exp(-iM\phi)$$

# Espines nucleares en el estado sólido

Sistema de espines nucleares en el **estado sólido** en presencia de un campo magnético externo  $B_0$

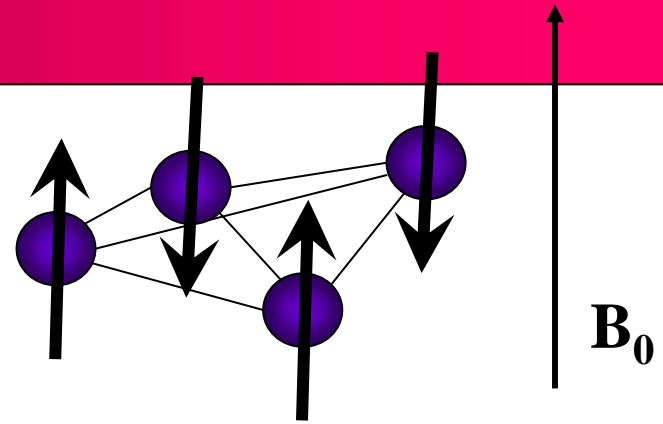
Interacciones principales:

1) interacción con el campo externo, *Zeeman*,

$$\mathcal{H}_{Zee} = -\sum_i \hbar \gamma B_0 S_i^z$$

2) interacción dipolar,

$$\mathcal{H}_{dip} = \sum_{i,j} \frac{\hbar^2 \gamma^2}{2} \left( \frac{\mathbf{S}_i \cdot \mathbf{S}_j}{r_{ij}^3} - \frac{3(\mathbf{S}_i \cdot \mathbf{r}_{ij})(\mathbf{S}_j \cdot \mathbf{r}_{ij})}{r_{ij}^5} \right)$$



$\mathcal{H}_{dip}$  perturbación de  $\mathcal{H}_{Zee}$  (5 órdenes menor), se desprecian los términos del  $\mathcal{H}_{dip}$  que producen transiciones entre los autoestados de  $\mathcal{H}_{Zee}$ . Descripción desde terna rotante → dinámica queda descrita por **Hamiltoniano dipolar truncado**:

$$\mathcal{H}_{dip}^{(0)} = \sum_{i,j} \frac{d_{ij}}{2} \left( 2S_i^z S_j^z - S_i^x S_j^x - S_i^y S_j^y \right) \quad d_{ij} = \frac{\hbar^2 \gamma^2}{2r_{ij}^3} (3 \cos(\theta_{ij}) - 1)$$

$\gamma$  razón giromagnética,  $S_i^z$  componente del op. de espín definido por la dirección de  $B_0$ ,  $r_{ij}$  vector posición que une a los núcleos  $i$  y  $j$ ,  $\mathbf{S}_i$  es el vector de momento angular,  $\theta_{ij}$  ángulo entre el vector internuclear  $r_{ij}$  y  $B_0$ .

# Coherencias Cuánticas Múltiples

$[\mathcal{H}_{\text{dip}}^{(0)}, S^z] = 0 \rightarrow$  autoestados  $|u\rangle$  de  $\mathcal{H}_{\text{dip}}^{(0)}$  y del operador de espín total  $S^z$ :

$$S^z = \sum_i S_i^z$$

$$S^z |u\rangle = m_u |u\rangle$$

el momento magnético total es un buen número cuántico

$$m_u = \sum_i m_{u,i}$$

Luego, los elementos no diagonales de la matriz densidad, i.e., las coherencias,

$$\rho_{uv} = \langle u | \rho(t) | v \rangle$$

pueden ser nominadas utilizando la diferencia de los momentos magnéticos. Un elemento  $\rho_{uv}$  es llamado

coherencia cuántica de orden  $M$

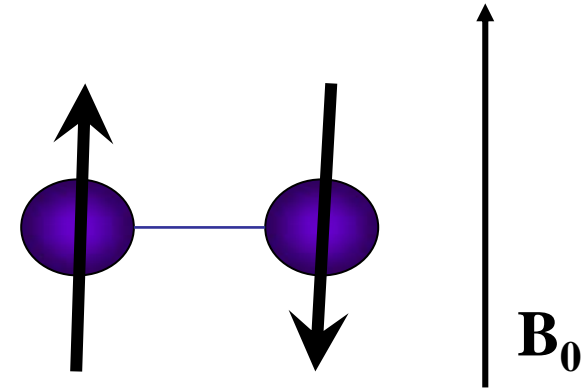
si los dos estados  $|u\rangle$  y  $|v\rangle$  involucrados en la transición que conecta son tq

$$M = m_u - m_v$$

# Coherencias Cuánticas Múltiples: 2 espines

$$M = m_u - m_v$$

2 espines



$|++\rangle$   $|+-\rangle$   $| -+\rangle$   $|--\rangle$

$$\rho(t) = \begin{array}{c} \langle ++ | \\ \langle +- | \\ \langle -+ | \\ \langle -- | \end{array} \begin{array}{|c|c|c|c|} \hline \rho_{11} & \rho_{12} & \rho_{13} & \rho_{14} \\ \hline \rho_{21} & \rho_{22} & \rho_{23} & \rho_{24} \\ \hline \rho_{31} & \rho_{32} & \rho_{33} & \rho_{34} \\ \hline \rho_{41} & \rho_{42} & \rho_{43} & \rho_{44} \\ \hline \end{array}$$

$M = 0$  incluye las poblaciones  $\rho_{ii}$

$M = +/- 1$   
magnetización transversal

$M = +/- 2$

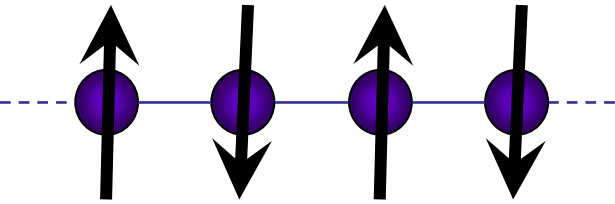
Intensidad de coherencia de orden M (\*):

$$J_M(t) = \sum'_{u,v} |\rho_{uv}(t)|^2$$



# Coherencias Cuánticas Múltiples: cadena de 10 espines

10 espines



Interacción\*:

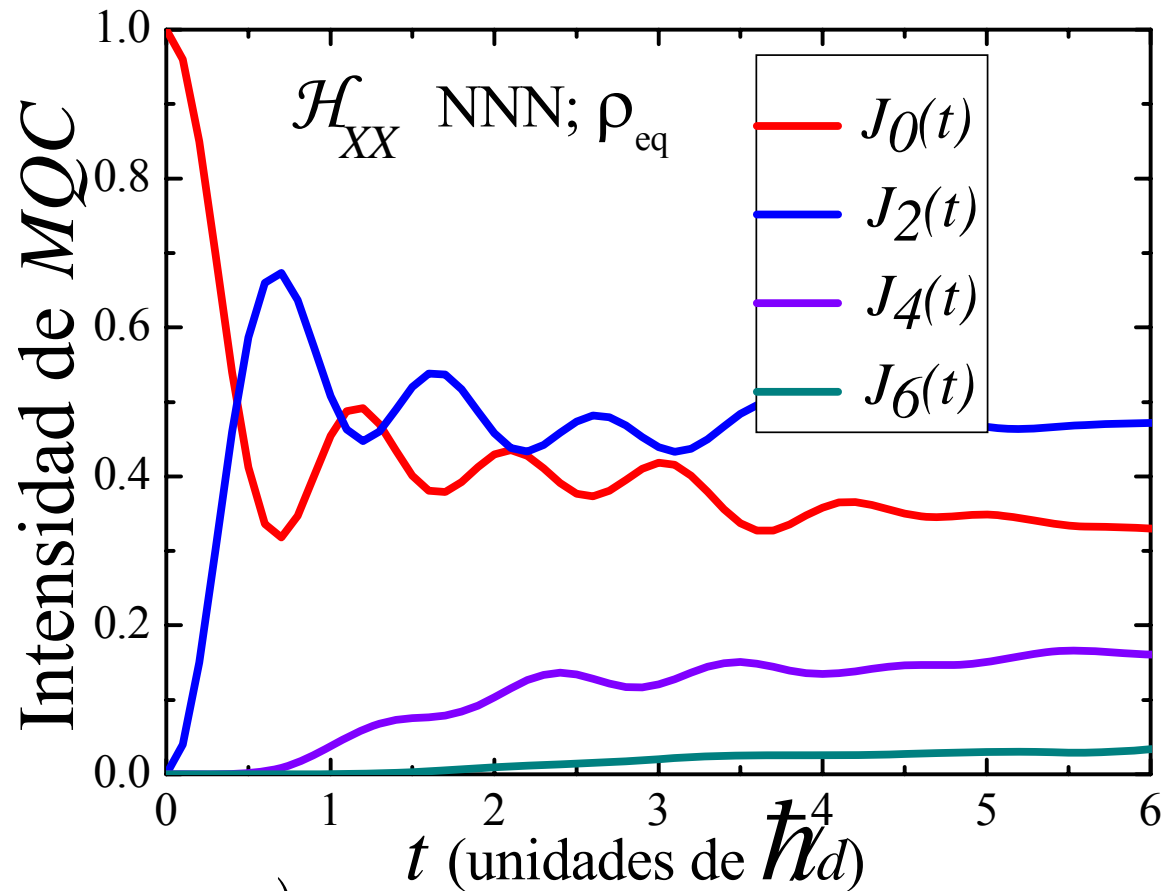
primer vecino  $d_{ij}=d$

segundo vecino  $d_{ij}=d/8$

$$\mathcal{H}_{XX} = \sum_{i,j} \frac{d_{ij}}{2} (2S_i^x S_j^x - S_i^y S_j^y - S_i^z S_j^z)$$

y condición inicial de equilibrio térmico en la aprox. de altas temperaturas:

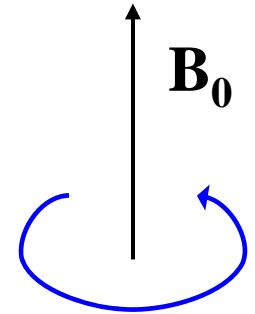
$$\rho(0) = \frac{1}{2^{10}} \left( 1 + \frac{\hbar\gamma B_0}{kT} S^z \right)$$



# Cómo se detectan las MQC

Pueden ser caracterizadas basándose en su respuesta a una rotación alrededor del eje de cuantificación z.

Un estado de coherencia de orden  $M$  luego de una rotación de ángulo  $\phi$  alrededor del eje z adquiere una fase proporcional a  $M$  dada por:



$$\langle u | \exp(-i\phi S^z) \rho \exp(i\phi S^z) | v \rangle = \exp(i\phi M) \langle u | \rho | v \rangle$$

esta rotación sobre el estado la incluimos en el Hamiltoniano:

$$\mathcal{H}_\phi = \exp(-i\phi S^z) \mathcal{H} \exp(i\phi S^z)$$

Magnetización total  $\rightarrow$  transformada de Fourier con coeficientes  $J_M$

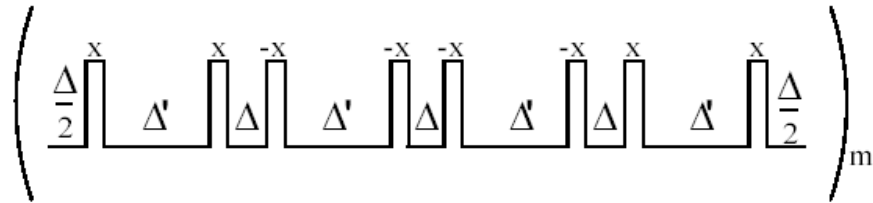
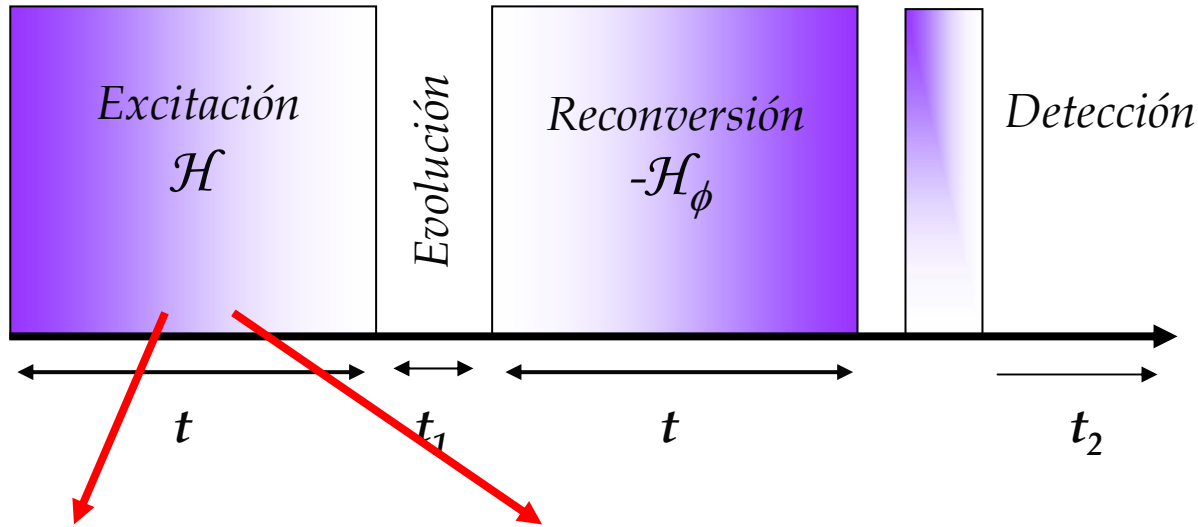
$$\rho(0) \rightarrow \mathcal{H} \rightarrow \rho(t) \rightarrow -\mathcal{H}_\phi \rightarrow \rho(2t)$$

$$\langle S^z \rangle(t) = \sum_M \exp(i\phi M) J_M(t)$$

$$\phi \longleftrightarrow M$$

# Cómo se detectan las MQC

Esquema de secuencias de pulsos formado por 4 partes, detección por marcado de fase:



Hamiltoniano efectivo para  $t = m t_c$

$$\mathcal{H}_{\text{DQ}} = \sum_{i,j} d_{ij} (S_i^+ S_j^+ + S_i^- S_j^-)$$

1. **Periodo de excitación:** exc. de las MQC generando Hamilt. efectivo  $\mathcal{H}$ .
2. **(Periodo de evolución)** evol. libre de las MQC.
3. **Periodo de reconversión:** “marcado” de las MQC con la fase  $\phi$ , generando  $-\mathcal{H}_\phi$ .
4. **Periodo de detección:** pulso de lectura

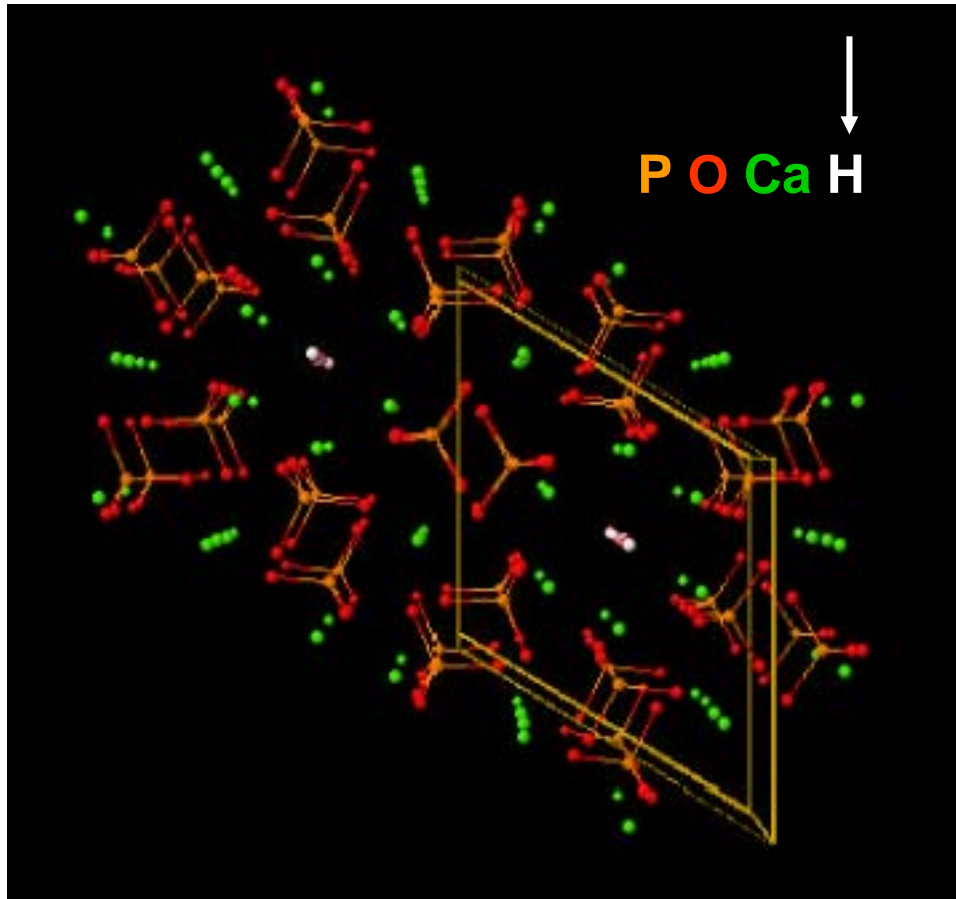
Magnetización total  $\rightarrow$  transformada de Fourier con coeficientes  $J_M$

$$\langle S^z \rangle(t) = \sum_M \exp(i \phi M) J_M(t)$$

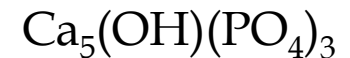
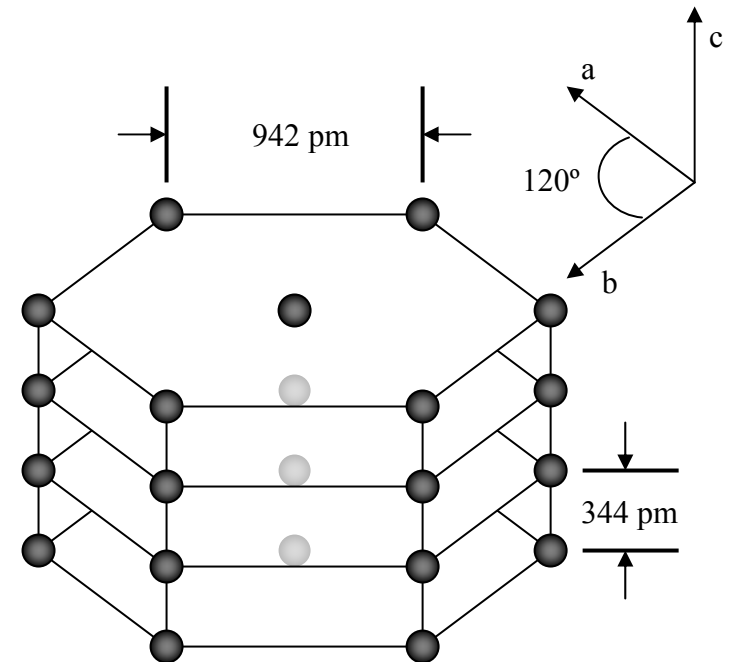
$$\phi \longleftrightarrow M$$

# Cuál es el sistema

## Hidroxiapatita



Hidroxiapatita Hexagonal  
 $\text{Ca}_{10}(\text{PO}_4)_6(\text{OH})_2$



Arreglo en columnas de los núcleos de hidrógenos en la hidroxiapatita

# Unidimensionalidad favorecida por el efecto Zenón

RMN en el estado sólido  $\rightarrow$  interacción dipolar  $\rightarrow 1/r^3$

Razón entre la constante de interacción dentro de la cadena y la interacción entre cadeas:

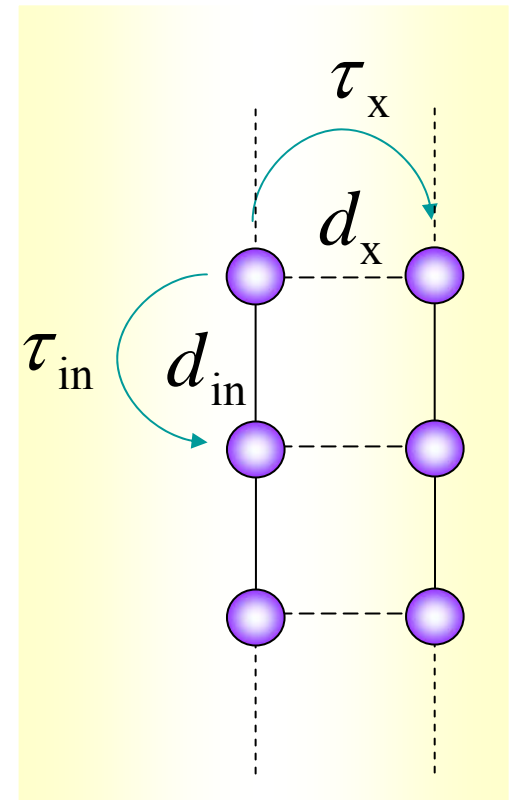
$$\frac{d_{\text{in}}}{d_x} = f(\theta_{\text{max}}) \times \left( \frac{r_x}{r_{\text{in}}} \right)^3 \approx 2 \times 20$$

*Monocristal*  
(orientación que maximiza el acoplamiento dentro de la cadena)

Razón entre los segundos momentos de un espín en una cadena y un espín central rodeado por 6 vecinos:

$$\sqrt{\left\langle \frac{M_{\text{in}}}{M_x} \right\rangle} = \langle f(\theta, \phi) \rangle \times \left( \frac{r_x}{r_{\text{in}}} \right)^3 \approx 1.5 \times 20$$

*Policristal*  
(promedio sobre ángulo sólido)



**Efecto dinámico  $\rightarrow$  Efecto Zenón Cuántico**

Razón entre el tiempo característico dentro de la cadena y el tiempo característico entre cadenas (dinámica FGR):

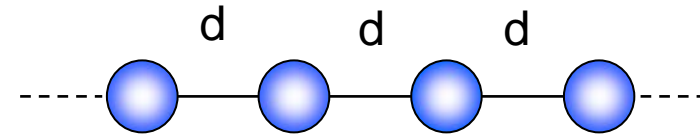
$$\tau_{\text{in}} \approx \frac{\hbar}{d_{\text{in}}}, \quad \frac{1}{\tau_x} \approx \frac{1}{\hbar} d_x^2 \frac{1}{d_{\text{in}}},$$

$$\Rightarrow \frac{\tau_{\text{in}}}{\tau_x} \approx \left( \frac{d_x}{d_{\text{in}}} \right)^2 \approx \left( \frac{r_{\text{in}}}{r_x} \right)^6 \approx \frac{1}{400}$$

# Transformación a fermiones no interactuantes

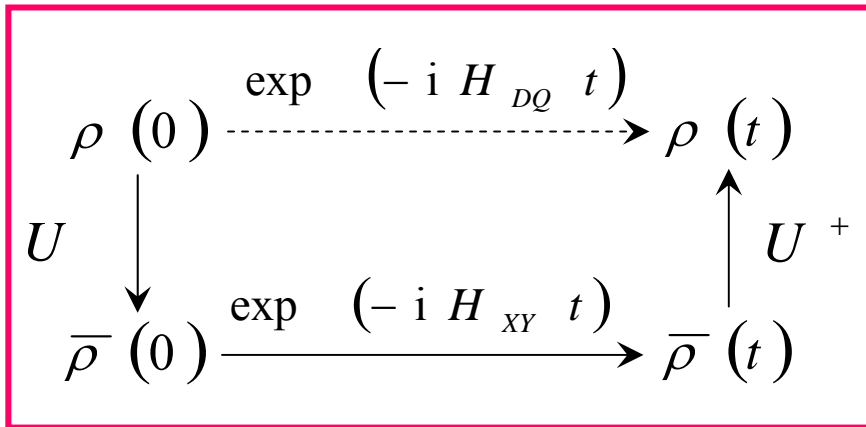
*muchos cuerpos ...*

$$\mathcal{H}_{DQ} \propto S_i^+ S_j^+ + S_i^- S_j^-$$



$$\mathcal{H}_{DQ}, \rho_{eq}(0) \rightarrow J_0(t), J_2(t), J_4(t), J_6(t), \dots$$

$\mathcal{H}_{DQ}, \rho_{eq}(0), nn :$



sólo coherencias de orden 0 y 2

dinámica cuántica efectiva de un cuerpo,  
manifestada en los órdenes de MQC

fermiones no interactuantes



$$\mathcal{H}_{TB} \propto c_i^+ c_{i+1} + c_{i+1}^+ c_i$$

*... “un cuerpo”*

# Transformación a fermiones no interactuantes

*muchos cuerpos ...*

$$\mathcal{H}_{DQ} \propto S_i^+ S_j^+ + S_i^- S_j^-$$

$$\mathcal{H}_{DQ}, \rho_{eq}(0) \rightarrow J_M(t) \forall M \text{ par}$$

$$\mathcal{H}_{DQ}, \rho_{eq}(0), nn \rightarrow J_M(t) = 0 \forall M > 2$$

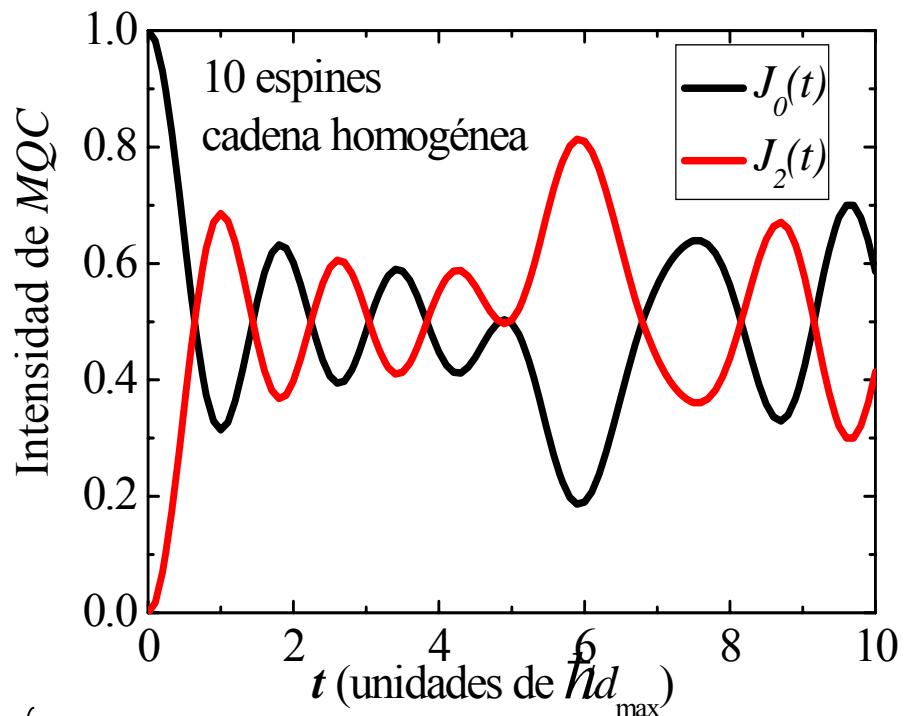
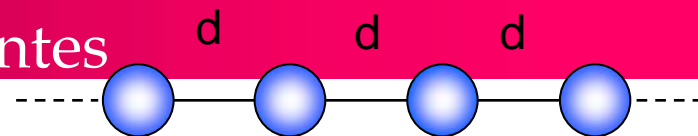
dinámica de fermiones no interactuantes  
manifestada en los órdenes de MQC

*... “un cuerpo”*

cadena homogénea,

$$d_{ij} = d \forall i, j$$

solución analítica



$$J_0(t) = \frac{1}{N} \sum_n \cos^2 \left( 4d t \cos \left( \frac{\pi n}{N+1} \right) \right)$$

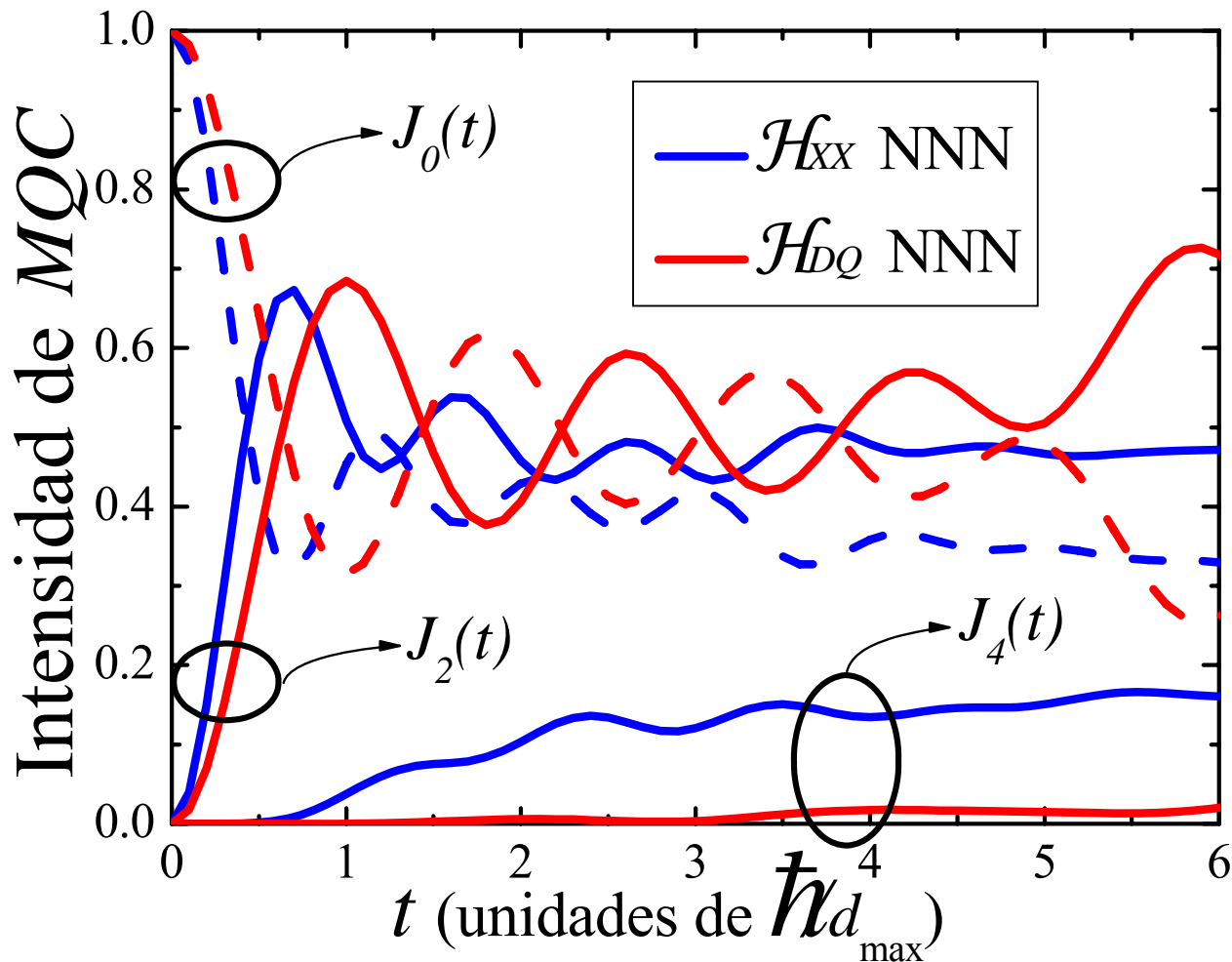
$$J_2(t) = \frac{1}{2N} \sum_n \cos^2 \left( 4d t \sin \left( \frac{\pi n}{N+1} \right) \right)$$

# Resultados numéricos: dinámica de MQC

cadena de 10 espines

$$\mathcal{H}_{DQ} \propto S_i^x S_j^x - S_i^y S_j^y,$$

$$\mathcal{H}_{XX} \propto 3S_i^x S_j^x - S_i^y S_j^y - S_i^z S_j^z,$$



Hamiltoniano dipolar rotado: mezcla muchos subespacios de proyección de espín

NNN

Interacción:

primer vecino

$d_{ij}=d$

segundo vecino

$d_{ij}=d/8$

Interacción 2do vecino (NNN): “rompe” la transformación a “un cuerpo”



# Resultados Numéricos

cadena de 10 espines

NNN

Interacción:

1er vecino  $d_{ij}=d$

2do vecino  $d_{ij}=d/8$

$\mathcal{H}_{XX}$ ,  $\mathcal{H}_{DQ}$ , monocristal:  
una orientación de la  
cadena respecto al campo  
magnético externo

$\langle \mathcal{H}_{XX} \rangle$ ,  $\langle \mathcal{H}_{DQ} \rangle$ , policristal:  
promedio sobre ángulo  
sólido  $\langle \rangle$

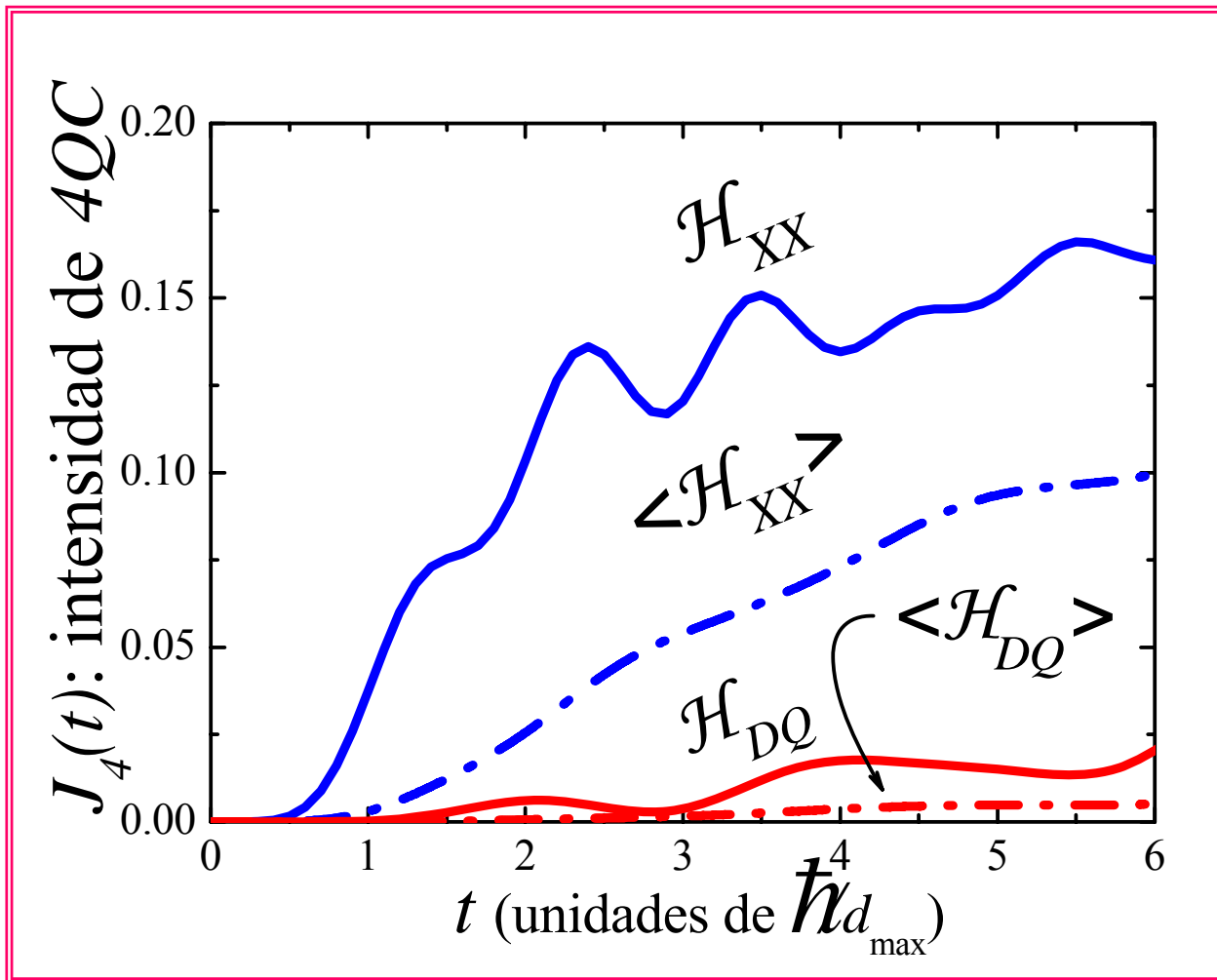
Si bien, bajo  $\mathcal{H}_{DQ}$  NNN

$$J_4(t) \neq 0$$

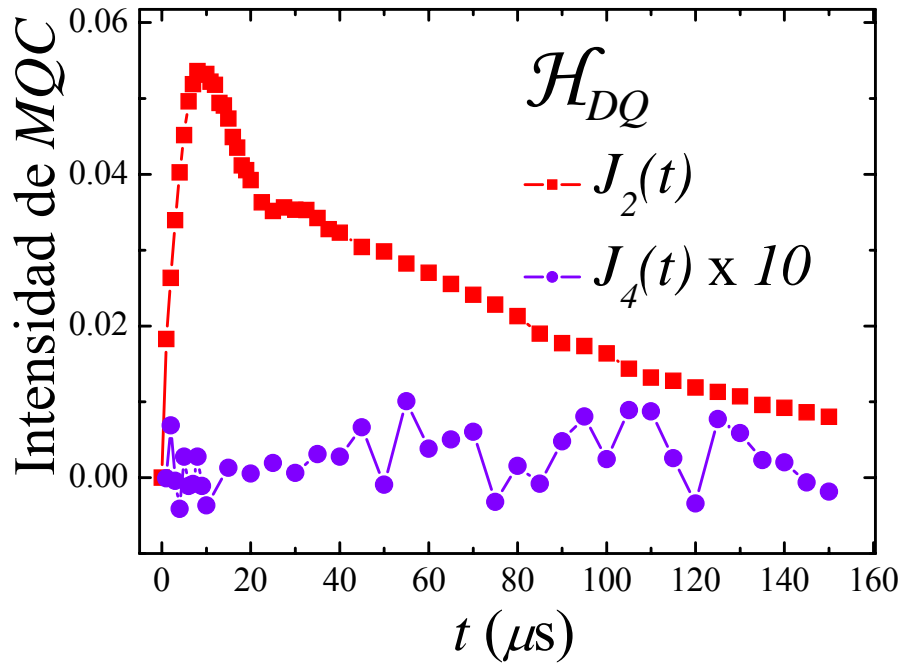
su intensidad es pequeña frente a interacciones que mezclan más fuertemente los subespacios. Así,  $\mathcal{H}_{DQ}$  mantiene la dinámica principal entre  $J_0$  y  $J_2$ .

$$\mathcal{H}_{DQ} \propto S_i^x S_j^x - S_i^y S_j^y,$$

$$\mathcal{H}_{XX} \propto 3S_i^x S_j^x - S_i^y S_j^y - S_i^z S_j^z,$$



# Resultados Experimentales



dinámica  $\mathcal{H}_{DQ}$   
2do orden de coherencia,  
4to orden de coherencia x 10.

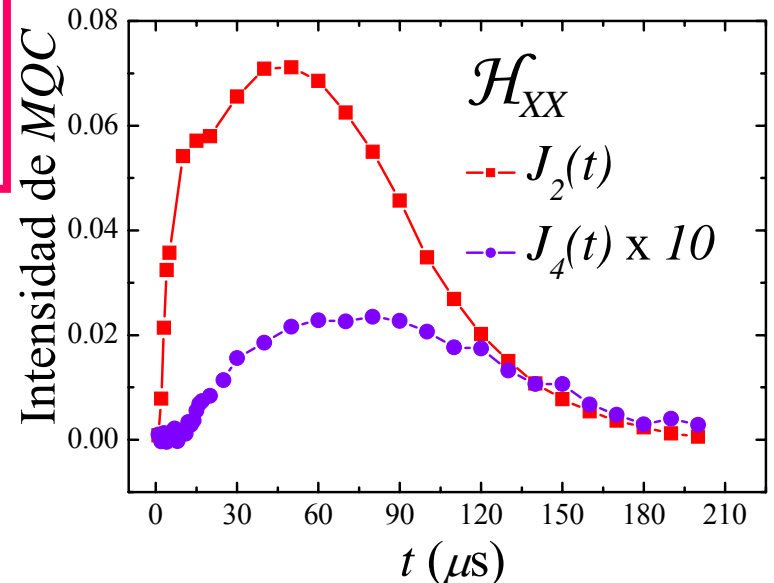


$$J_4(t) = 0$$

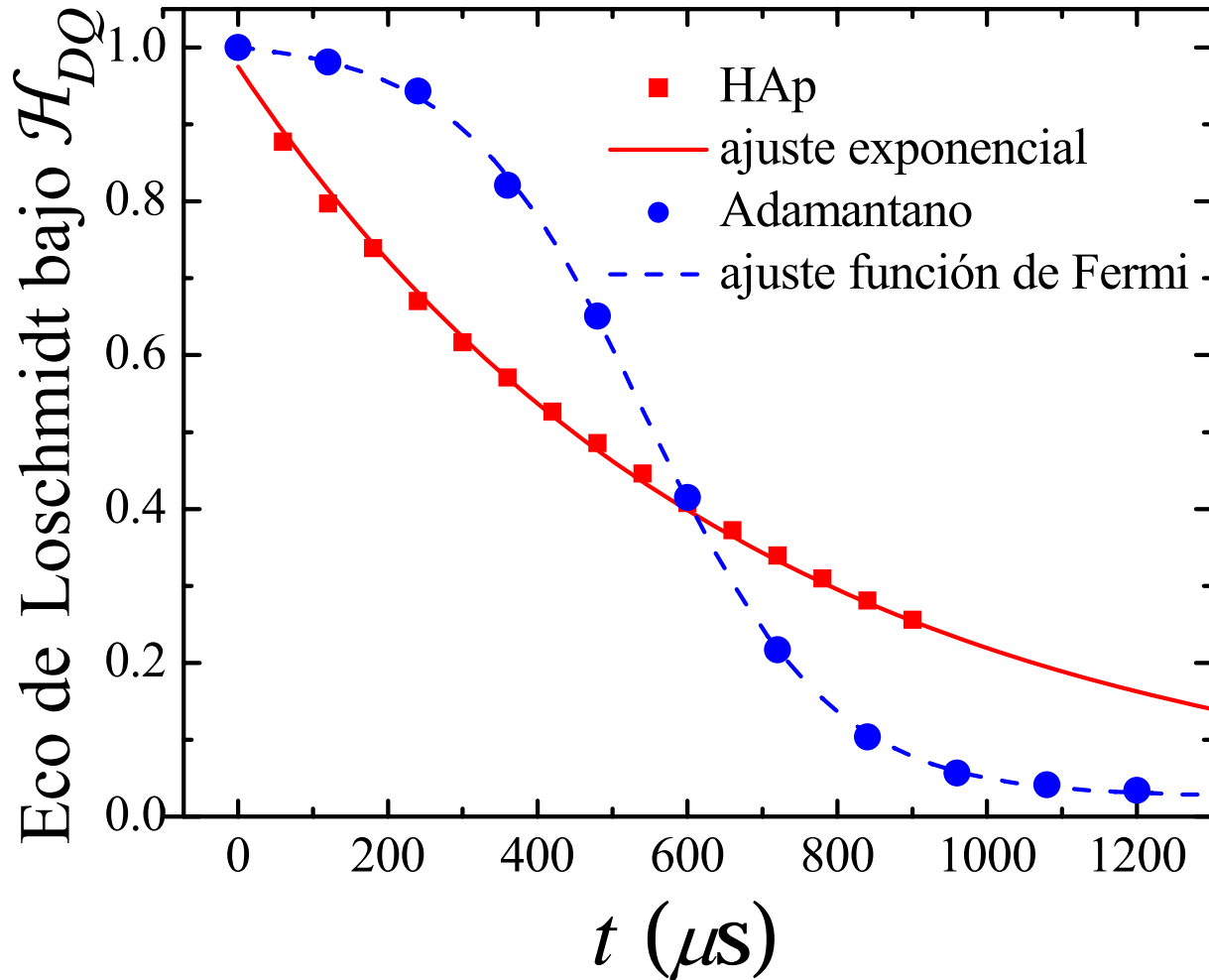
dinámica  $\mathcal{H}_{XX}$   
2do orden de coherencia,  
4to orden de coherencia x 10.



no hay una limitación señal-ruido



# Resultados experimentales: Eco de Loschmidt bajo $\mathcal{H}_{DQ}$



HAp

→ sistema 1d

→ decaimiento expon.

Adamantano

→ sistema 3d

→ curva tipo Fermi:

$$\frac{1}{1 + \exp\left(\frac{(t - t_c)}{\tau_\phi}\right)}$$

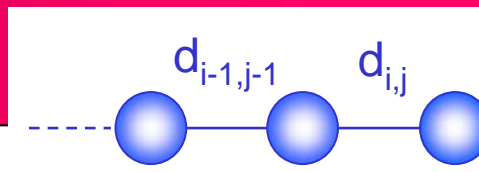
$$HAp \rightarrow \tau_\phi = (770 \pm 50) \mu\text{s}$$

$$adam \rightarrow \begin{cases} t_c = (545 \pm 2) \mu\text{s} \\ \tau_\phi = (123 \pm 2) \mu\text{s} \end{cases}$$

# Conclusiones ( de la primer parte...)

- Utilizando RMN en el estado sólido en una red de espines **1d** (favorecida por el **QZE**), construimos una dinámica cuántica efectiva de un cuerpo,  $\mathcal{H}_{\text{DQ}}$ .
- Utilizamos como **testigo de la dinámica efectiva de un cuerpo** subyacente en una dinámica de muchos cuerpos interactuantes la intensidad de coherencia de orden 4,  $J_4(t)$ .
- Estos resultados fueron **contrastados** con la dinámica de muchos cuerpos inducida por la acción de un Hamiltoniano dipolar rotado,  $\mathcal{H}_{\text{XX}}$ .
- Evaluamos la **decoherencia** a través de un experimento de eco de Loschmidt basado en la dinámica de cuantos-dobles. La dinámica 1d conduce una monótona decoherencia exponencial, mientras que la dinámica de un espacio altamente conectado muestra un decaimiento abrupto de la coherencia.
- Estos resultados indican que, a pesar de la inevitable **interacción a segundos vecinos**, la HAp puede ser usada como un “**simulador cuántico**” para la dinámica de fermiones no-interactuantes.

# Segunda parte...



*muchos cuerpos ...*

RMN en estado líquido

$$\mathcal{H}_{XY} = d_{i,i+1} \sum_{i=1}^N (S_i^+ S_{i+1}^- + S_i^- S_{i+1}^+)$$

Jordan-Wigner

*un cuerpo ...*

fermiones no interactuantes

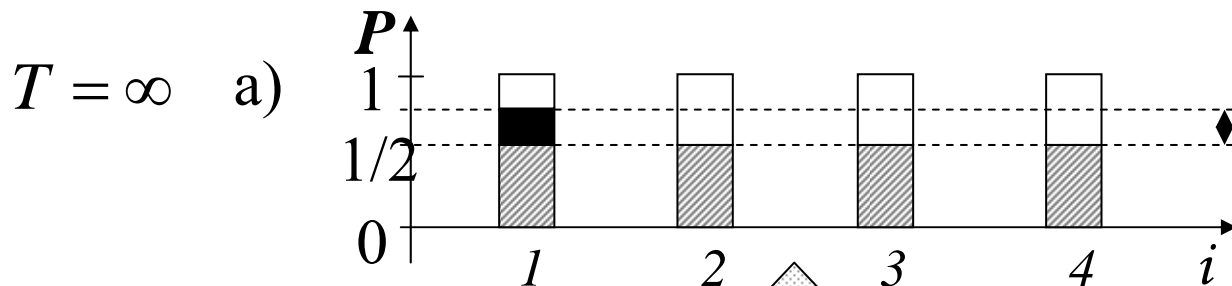
$$\mathcal{H}_{TB} = d_{i,i+1} \sum_{i=1}^N (c_i^+ c_{i+1} + c_{i+1}^+ c_i)$$

Polarización Local, función de autocorrelación

$$P_{i,i}(t) = \langle S_i^z(t) S_i^z(0) \rangle_{ens}$$

Probabilidad de Supervivencia

$$P_{i,i}(t) = |\langle i | \exp(-iHt) | i \rangle|^2$$



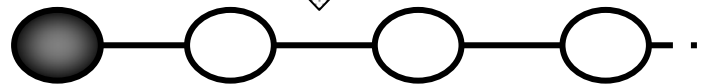
$T = \infty$  a)

$|i\rangle$  estado de una partícula localizado en el sitio  $i$



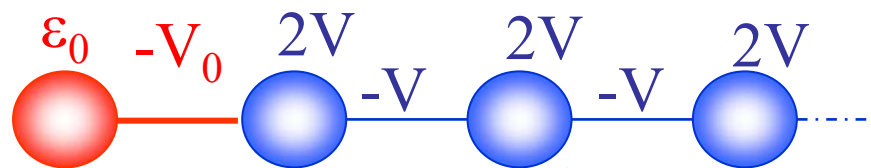
Jordan-Wigner + XY

$T = 0$  b)



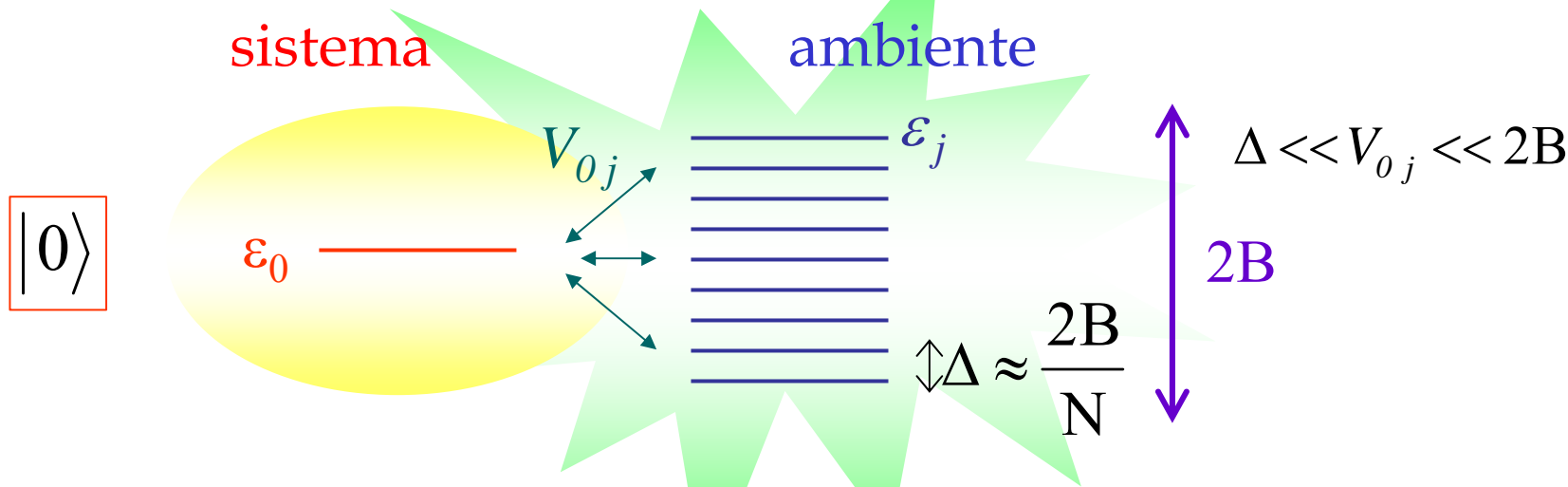
# Sistema-ambiente; Probabilidad de Supervivencia

$$P_{00}(t) = \left| \langle 0 | \exp(-iHt) | 0 \rangle \right|^2$$



resonancia  
bien definida

$$V_0 < V$$



aproximación de banda ancha, aproximación Markoviana

Decaimiento exponencial con velocidad de decaimiento dada por la aproximación de la Regla de Oro de Fermi (FGR)

*FGR → aprox de 1º orden en teoría de perturbaciones, no hay retornos del ambiente, no hay efectos de memoria...*

*En cambio, si se considera un ambiente no-Markoviano...*

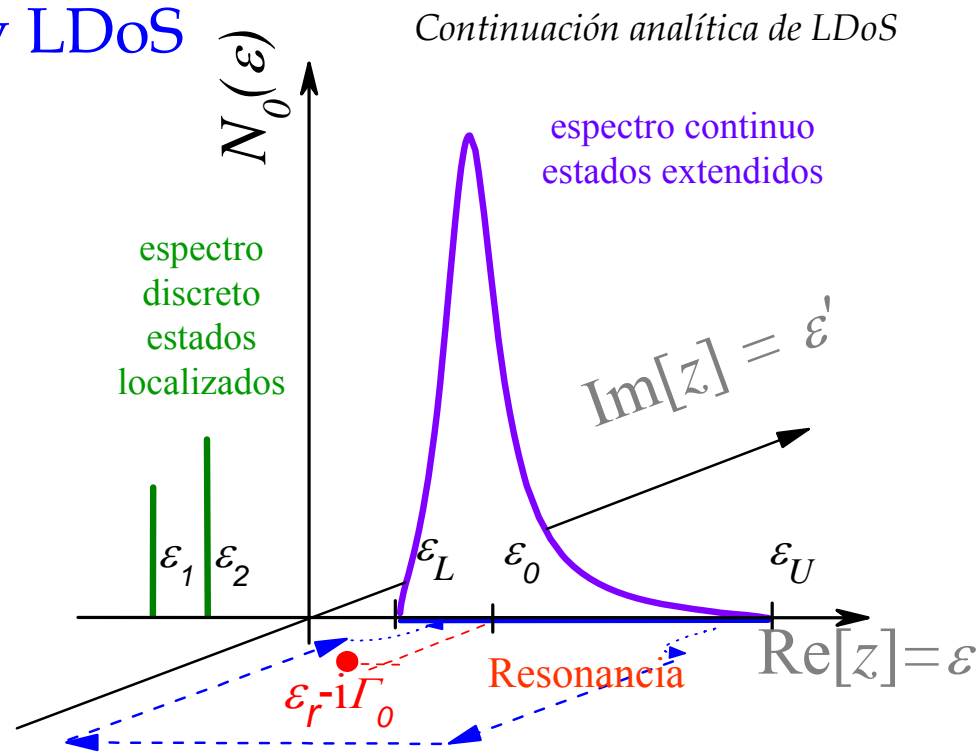
# Probabilidad de Supervivencia y LDoS

$$P_{00}(t) = \left| \langle 0 | e^{-\frac{i}{\hbar} H t} | 0 \rangle \theta(t) \right|^2$$

$$P_{00}(t) = \left| \int_0^B d\varepsilon N_0(\varepsilon) e^{-\frac{i}{\hbar} \varepsilon t} \right|^2$$

teorema  
de los  
residuos

sistema sin  
estados localizados

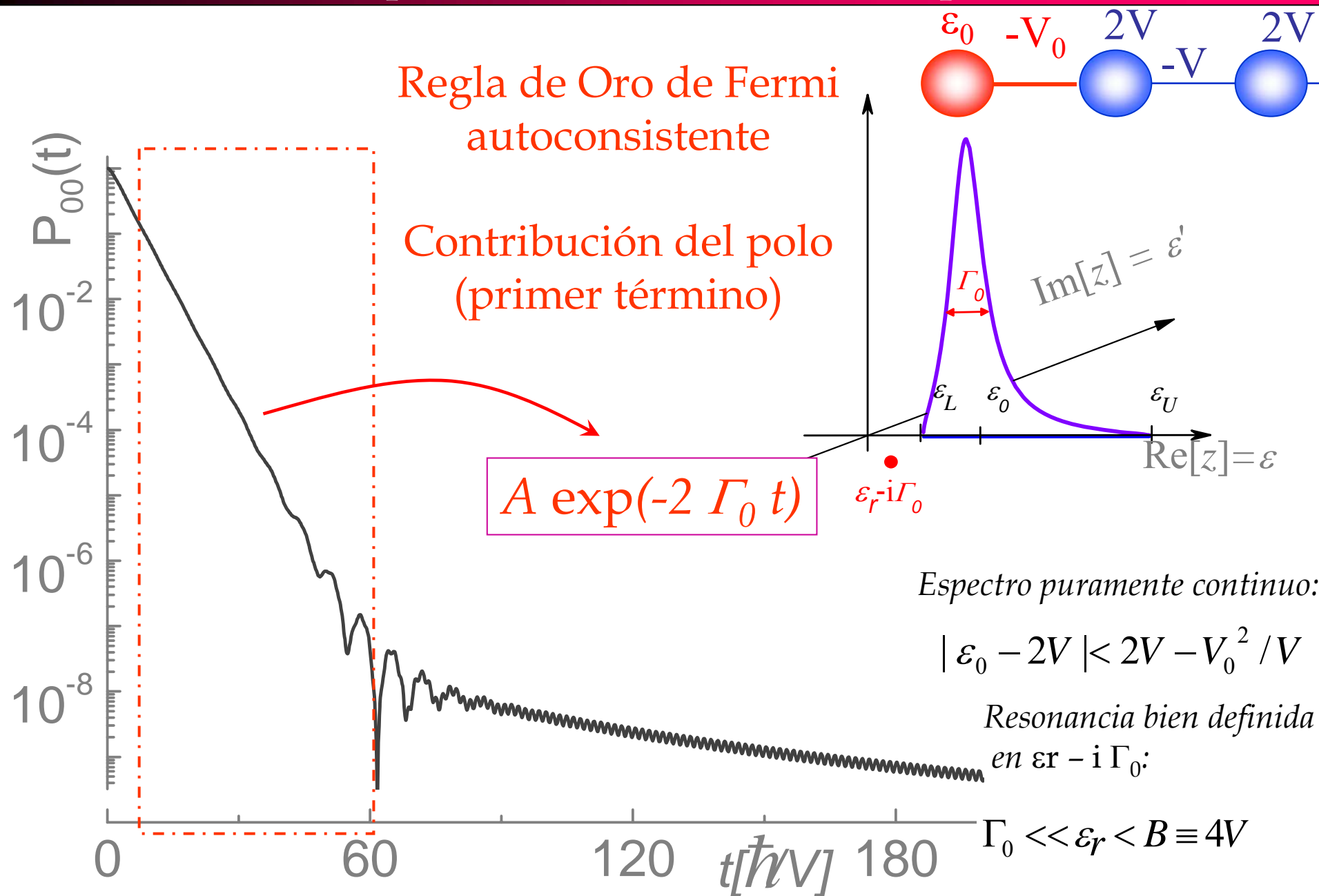


$$P_{00}(t) = \left| a e^{-(\Gamma_0 - i\varepsilon_r)t/\hbar} + \int_0^\infty d\varepsilon' e^{-\varepsilon' t/\hbar} \left[ e^{-i\varepsilon_L t/\hbar} N_0(\varepsilon_L - i\varepsilon') - e^{-i\varepsilon_U t/\hbar} N_0(\varepsilon_U - i\varepsilon') \right] \right|^2$$

SC-FGR

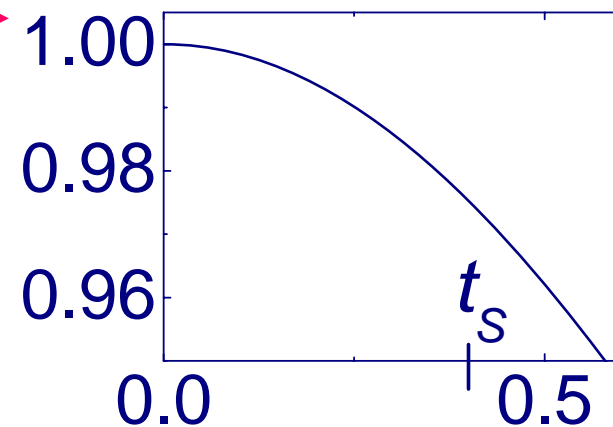
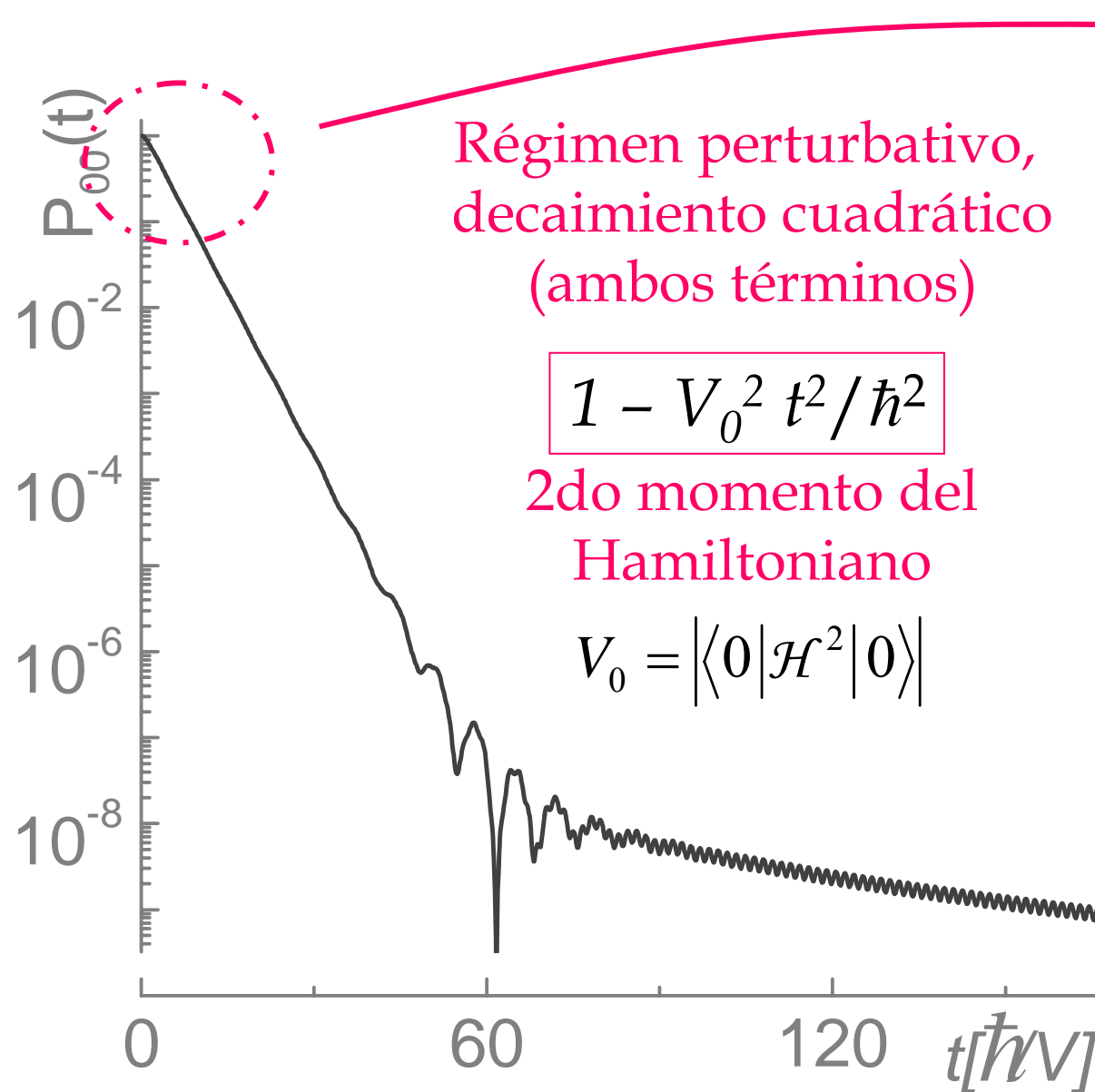
corrección de los retornos del ambiente

# Probabilidad de Supervivencia; Decaimiento exponencial



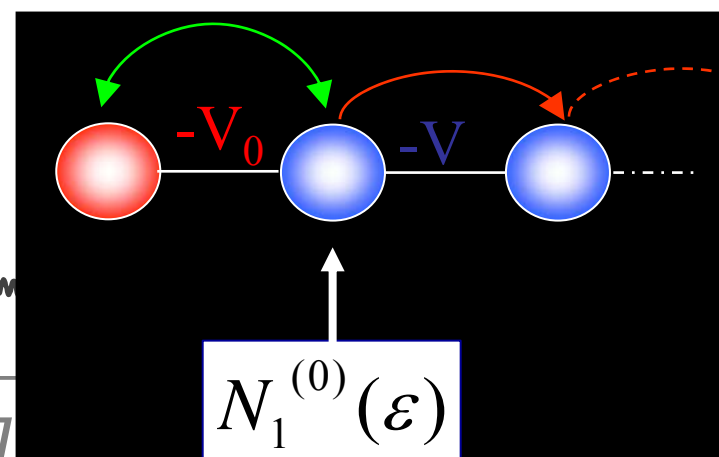


# Probabilidad de Supervivencia; tiempos cortos

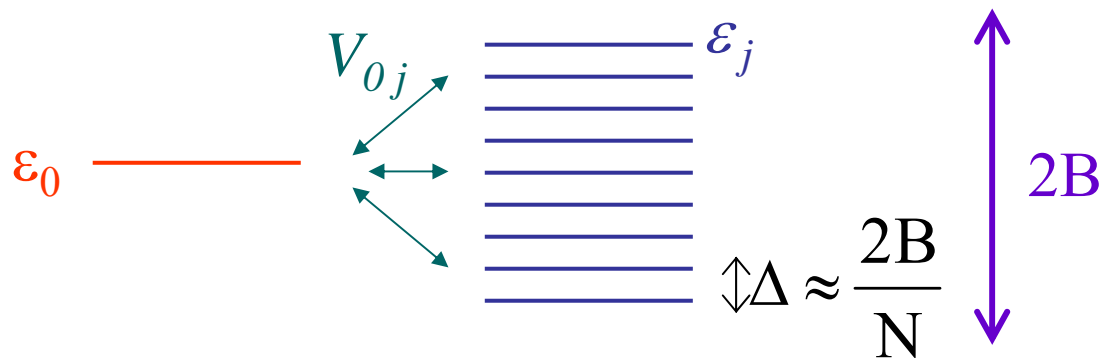


Válido hasta un tiempo:

$$t_S \approx \hbar \pi N_1^{(0)}(\epsilon_r)$$



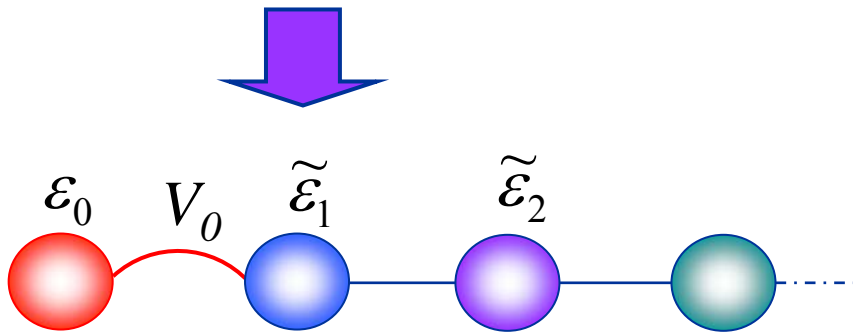
# Tiempo de transición y QZE



$$P_{00}(t) = 1 - V_0^2 (t/\hbar)^2 + \dots$$

$$t_S \approx \hbar \Gamma_0 / V_0^2,$$

$$G_{00}(\epsilon) = \frac{1}{\epsilon - \epsilon_0 - V_{01} G_{\tilde{1}\tilde{1}}^{(0)}(\epsilon) V_{10}},$$

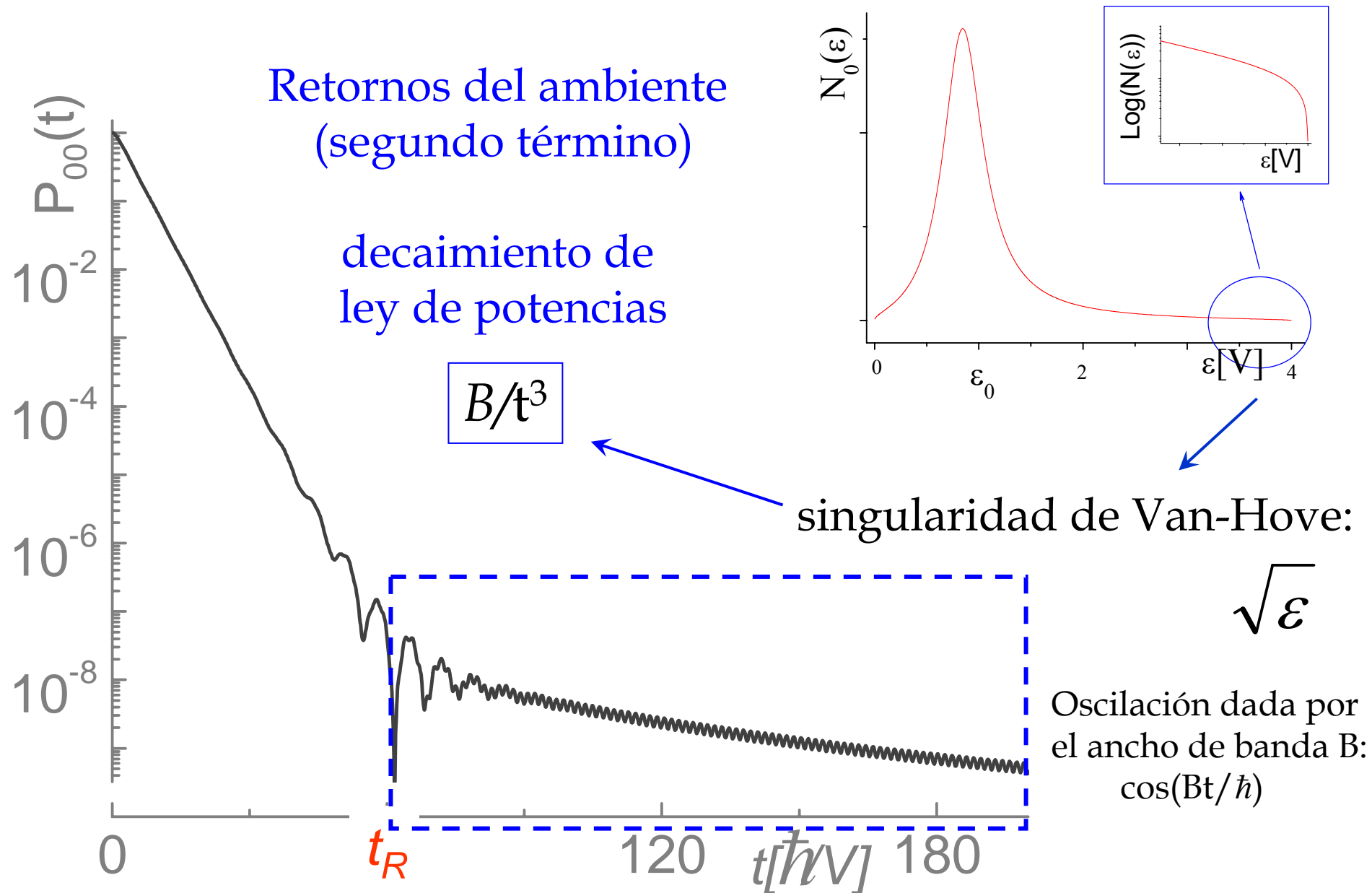


$$|\tilde{1}\rangle = \frac{1}{V_0} \sum_{j=1}^N V_{0j} |j\rangle; \quad V_0 = \sqrt{\sum_{j=1}^N |V_{0j}|^2}.$$

$$t_S \approx \hbar \pi N_{\tilde{1}}^{(0)}(\epsilon_0)$$

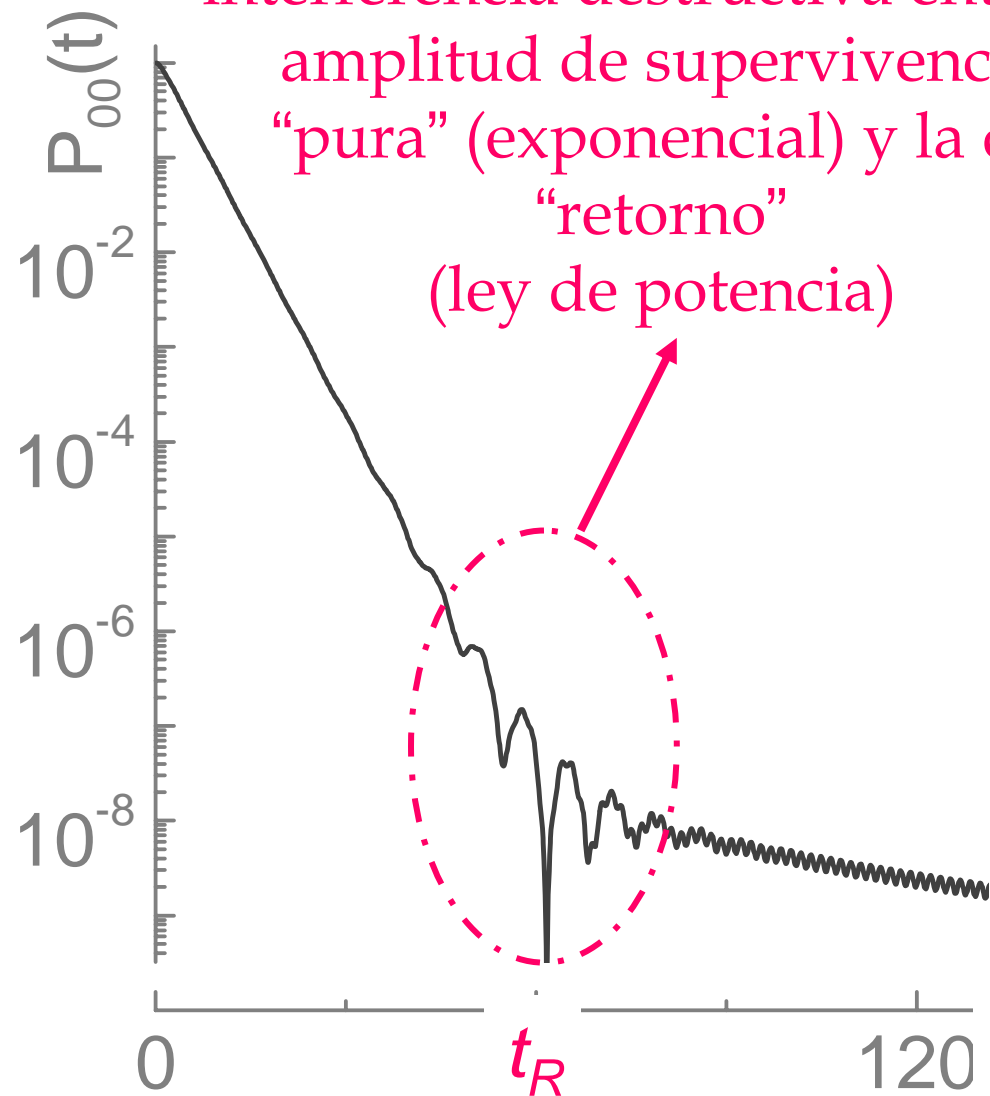
En el rango de decaimiento cuadrático, mediciones recursivas y proyectivas del estado  $|0\rangle$  a intervalos de tiempo  $\tau\varphi$  podrían producir desasceleración del decaimiento: **efecto Zenón Cuántico**. Luego, una cota superior para ésta escala de tiempo es  $\tau\varphi < t_S$ .

# Probabilidad de Supervivencia; tiempos largos



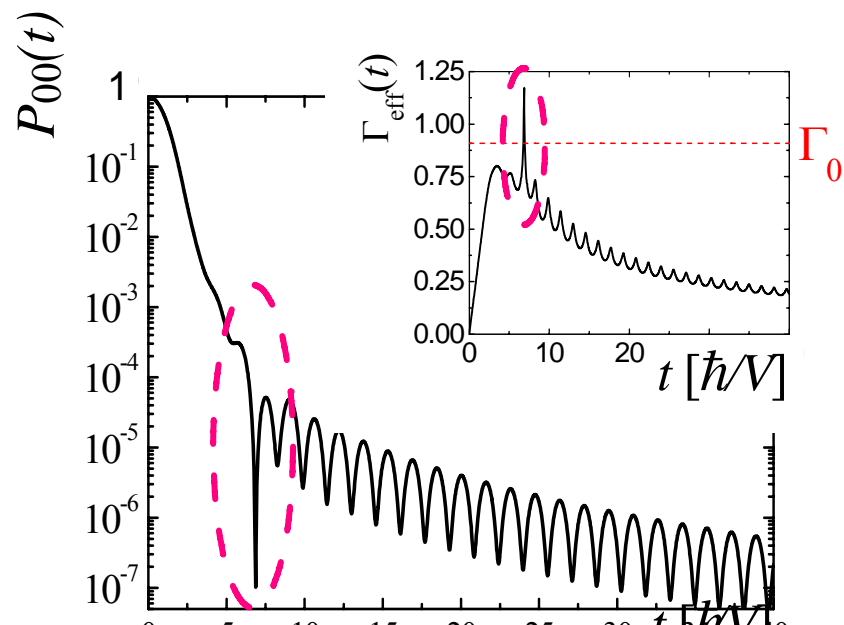
# Tiempo de transición a ley de potencia y AZE

Colapso de la supervivencia:  
interferencia destructiva entre la  
amplitud de supervivencia  
“pura” (exponencial) y la de  
“retorno”  
(ley de potencia)



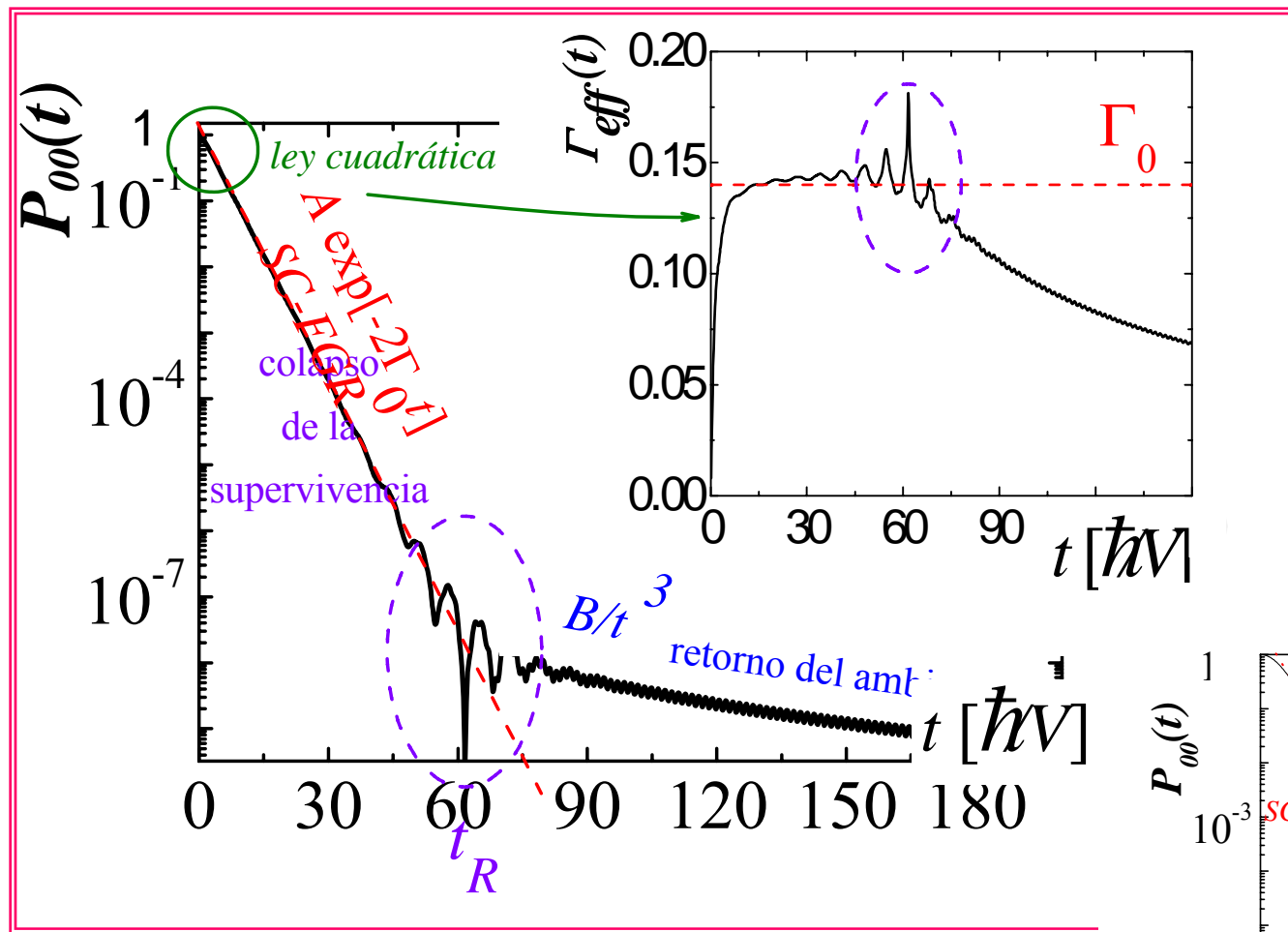
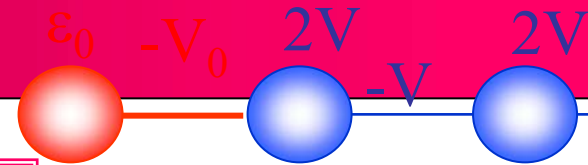
$$t_R \approx \alpha \frac{\hbar}{\Gamma_0} \ln \left( \beta \frac{B}{4\Gamma_0} \right)$$

Régimen de acoplamiento fuerte  
→ efecto **Anti-Zenón**



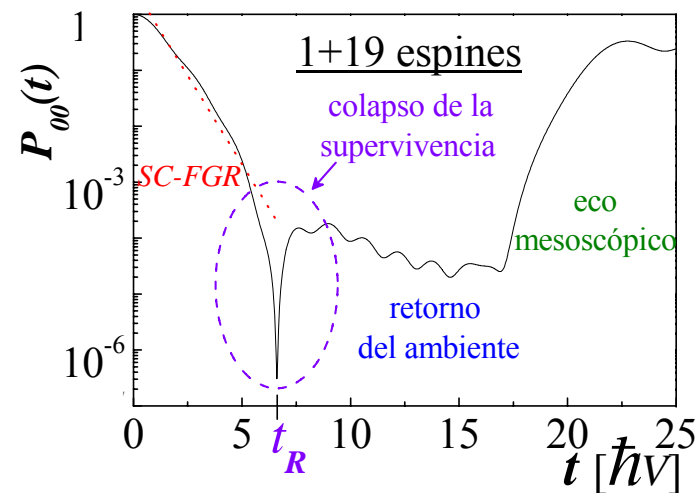
mediciones recursivas proyectivas a  
intervalos de tiempo  $\tau\varphi \approx tR$  pueden  
producir aceleración del decaimiento

# Conclusiones (de la segunda parte...)



$P_{00}(t)$  comportamiento exacto; Régimen:

- perturbativo
- FGR
- tiempos largos



## Tiempos característicos:

- $t_S$ : transición entre dec. cuadrático y exp
- $t_R$ : transición entre dec. exp y ley de pot.

# Conclusiones generales

Dentro del estudio de la dinámica multi-espín de las coherencias cuánticas múltiples,

- Construimos una dinámica cuántica efectiva de un cuerpo,  $\mathcal{H}_{\text{DQ}}$ , utilizando RMN en el estado sólido a temperatura ambiente, en una red de espines quasi 1d.
- Utilizamos como testigo de la dinámica efectiva de un cuerpo la intensidad de coherencia de orden 4,  $J_4(t)$ .
- Mostramos la posibilidad de utilizar la RMN a temperatura ambiente como un simulador de la dinámica de una partícula fermiónica.

Dentro del estudio del modelo de interacción coherente sistema-ambiente,

Encontramos el comportamiento exacto de la probabilidad de supervivencia para todo tiempo, y con ella obtuvimos:

- el régimen SC-FGR;
- las cotas temporales que nos brindan en régimen de validez de la aproximación Markoviana;
- la explicación del efecto de colapso de la supervivencia;
- la utilización de espines nucleares con interacción XY, que es posible de construir efectivamente en RMN, para el estudio del decaimiento temporal.

*...gracias por su atención!*